

О СДАВЛИВАНИИ ПЛАСТИЧЕСКОГО СЛОЯ В ОСЕСИММЕТРИЧНОЙ КОНИЧЕСКОЙ МАТРИЦЕ

М. А. Калашникова, Ю. М. Мяснянкин, А. И. Шашкин

Воронежский государственный университет

Поступила в редакцию 26.08.2013 г.

Аннотация: в работе рассматривается прессование тонкого пластического слоя коническим жестким штампом в конической матрице. Предполагается осевая симметрия, материал слоя изотропный, однородный, идеально жесткопластический, подчинен условию текучести Мизеса.

Ключевые слова: идеальная пластичность, тонкий конический слой, сдавливание, осевая симметрия.

Abstract: we consider pressing a thin plastic layer tapered rigid stamp in a conical die. It is assumed axial symmetry, the material layer is isotropic, homogeneous, ideal rigid, is subject to the Mises yield condition.

Keywords: the ideal plasticity, thin tapered layer, compression, axial symmetry.

ВВЕДЕНИЕ

Отыскание замкнутых частных решений в теории идеальной пластичности представляет несомненный интерес. Ряд таких решений был указан и исследован Л. Прандтлем, Г. Генки, А. Надаи, А. А. Ильюшиным, Р. Хиллом, В. В. Соколовским, Л. М. Качановым, М. А. Задьяном, Д. Д. Ивлевым и другими. Обширная библиография по этим вопросам достаточно полно изложена в монографиях [1–3]. В данной работе решение краевой задачи строится методом малого параметра. За малый параметр принимается отношение толщины пластического слоя к его длине, а граничные условия на торцах выполняются в интегральном смысле. Аналогичный метод применялся в работах [4, 5]. В работе показано, что главная часть разложений для напряжений и скоростей перемещений при сжатии тонких слоев совпадает с решениями Прандтля-Надаи.

1. ОБЩИЕ УРАВНЕНИЯ ТЕОРИИ ИДЕАЛЬНОЙ ПЛАСТИЧНОСТИ ДЛЯ СЛОЯ В ОСЕСИММЕТРИЧНОЙ КОНИЧЕСКОЙ МАТРИЦЕ

Рассмотрим (рис. 1) сдавливание конусом EFDC пластического слоя GHBC в конусной матрице АВ в случае осесимметричного напряженно-деформированного состояния с осью симметрии АОД. Введем декартову систему координат (x_1, x_2, x_3) и систему координат связанную с пластическим слоем (s, θ, ξ) таким образом, что ось s направлена по образующей конуса (вдоль отрезка ON) от его вершины, ось ξ перпендикулярна оси s (вдоль отрезка NM, M – произвольная точка слоя).

Функции преобразования координат и параметры Ламе имеют следующий вид

© Калашникова М. А., Мяснянкин Ю. М., Шашкин А. И., 2013

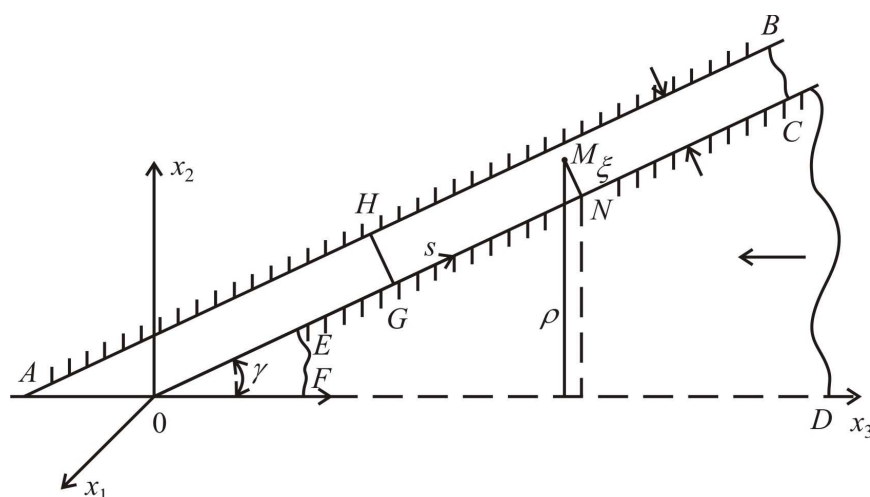


Рис. 1. Схема сдвигания конусом $EFDC$ пластического слоя $GHBC$ в конусной матрице AB в случае осесимметричного напряженно-деформированного состояния с осью симметрии AOD .

$$\begin{aligned} x_1 &= \rho \cos \theta = (s \sin \gamma + \xi \cos \gamma) \cos \theta, \\ x_2 &= \rho \sin \theta = (s \sin \gamma + \xi \cos \gamma) \sin \theta, \\ x_3 &= s \cos \gamma - \xi \sin \gamma, \\ H_1 &= H_3 = 1, \quad H_2 = \rho = s \sin \gamma + \xi \cos \gamma. \end{aligned}$$

Приведем общие уравнения теории идеальной пластичности в координатах (s, θ, ξ) при условии пластичности Мизеса и действии ассоциированного закона пластического течения.

Уравнения равновесия

$$\rho \frac{\partial \sigma_s}{\partial s} + \sigma_s \sin \gamma + \rho \frac{\partial \tau_{\xi s}}{\partial \xi} + \tau_{\xi s} \cos \gamma - \sigma_\theta \sin \gamma = 0, \quad (1)$$

$$\rho \frac{\partial \sigma_\xi}{\partial \xi} + \sigma_\xi \cos \gamma + \rho \frac{\partial \tau_{\xi s}}{\partial s} + \tau_{\xi s} \sin \gamma - \sigma_\theta \cos \gamma = 0. \quad (2)$$

Условие пластичности Мизеса

$$(\sigma_s - \sigma_\theta)^2 + (\sigma_s - \sigma_\xi)^2 + (\sigma_\xi - \sigma_\theta)^2 + 6\tau_{\xi s}^2 = 6k^2. \quad (3)$$

Ассоциированный закон пластического течения

$$\varepsilon_s = \frac{\partial u_s}{\partial s} = \lambda (2\sigma_s - \sigma_\theta - \sigma_\xi), \quad (4)$$

$$\varepsilon_\theta = \frac{u_\xi}{\rho} \cos \gamma + \frac{u_s}{\rho} \sin \gamma = \lambda (2\sigma_\theta - \sigma_s - \sigma_\xi), \quad (5)$$

$$\varepsilon_\xi = \frac{\partial u_\xi}{\partial \xi} = \lambda (2\sigma_\xi - \sigma_\theta - \sigma_s), \quad (6)$$

$$2\varepsilon_{\xi s} = \frac{\partial u_s}{\partial \xi} + \frac{\partial u_\xi}{\partial s} = 6\lambda \tau_{\xi s}, \quad (7)$$

где $\sigma_s, \sigma_\theta, \sigma_\xi, \tau_{\xi s}$ — компоненты тензора напряжений, $\varepsilon_s, \varepsilon_\theta, \varepsilon_\xi, \varepsilon_{\xi s}$ — компоненты тензора скоростей деформаций, k — предел текучести, $\lambda \geq 0$ — коэффициент пропорциональности.

В силу осевой симметрии $\tau_{\rho\theta} = \tau_{\xi\theta} = u_\theta = \varepsilon_{\theta s} = \varepsilon_{\theta\xi} = 0$.

Предположим, что матрица шероховатая, а клин абсолютно гладкий, тогда граничные условия примут вид

$$\text{при } \xi = 0 : \tau_{\xi s} = 0, \quad u_\xi = v_0 = \text{const}, \quad (8)$$

$$\text{при } \xi = h : \tau_{\xi s} = k, \quad u_\xi = 0. \quad (9)$$

Граничные условия на торцах слоя удовлетворим в смысле Сен-Венана [5], [2].

Далее будем пользоваться безразмерными переменными, введенными следующим образом:

$$\frac{\sigma_s}{k} = \sigma_x, \quad \frac{\sigma_\xi}{k} = \sigma_y, \quad \frac{\tau_{\xi s}}{k} = \tau_{xy}, \quad \frac{\sigma_\theta}{k} = \sigma_\varphi, \quad \frac{u_s}{v_0} = u_x, \quad \frac{u_\xi}{v_0} = u_y, \quad \frac{s}{l} = x, \quad \frac{\xi}{h} = y, \quad \frac{h}{l} = \varepsilon.$$

После исключения λ из соотношений (4)–(7) они перепишутся следующим образом.

Уравнения равновесия

$$\varepsilon \frac{\partial \sigma_x}{\partial x} + \varepsilon \frac{\sigma_x - \sigma_\varphi}{r} \sin \gamma + \varepsilon \frac{\tau_{xy}}{r} \cos \gamma + \frac{\partial \tau_{xy}}{\partial y} = 0, \quad (10)$$

$$\frac{\partial \sigma_y}{\partial y} + \varepsilon \frac{\sigma_y - \sigma_\varphi}{r} + \varepsilon \frac{\tau_{xy}}{r} \sin \gamma + \varepsilon \frac{\partial \tau_{xy}}{\partial x} = 0, \quad (11)$$

где $r = x \sin \gamma + \varepsilon y \cos \gamma$.

Следствия ассоциированного закона пластического течения

$$\frac{\partial u_y}{\partial y} (2\sigma_\varphi - \sigma_x - \sigma_y) = \varepsilon \left(\frac{u_y}{r} \cos \gamma + \frac{u_x}{r} \sin \gamma \right) (2\sigma_y - \sigma_x - \sigma_\varphi), \quad (12)$$

$$\frac{\partial u_y}{\partial y} + \varepsilon \frac{\partial u_x}{\partial x} + \frac{\varepsilon}{r} (u_y \cos \gamma + u_x \sin \gamma) = 0, \quad (13)$$

$$\left(\frac{\partial u_x}{\partial y} + \varepsilon \frac{\partial u_y}{\partial x} \right) (2\sigma_y - \sigma_x - \sigma_\varphi) = 6 \frac{\partial u_y}{\partial y} \tau_{xy}, \quad (14)$$

$$\left(\frac{\partial u_x}{\partial y} + \varepsilon \frac{\partial u_y}{\partial x} \right) (2\sigma_x - \sigma_y - \sigma_\varphi) = 6 \frac{\partial u_x}{\partial x} \tau_{xy}. \quad (15)$$

Условие пластичности

$$(\sigma_x - \sigma_\varphi)^2 + (\sigma_x - \sigma_y)^2 + (\sigma_y - \sigma_\varphi)^2 + 6\tau_{xy}^2 = 6. \quad (16)$$

Граничные условия в безразмерных переменных на двух поверхностях слоя

$$\text{при } y = 0 : \quad u_y = 1, \quad \tau_{xy} = 0, \quad (17)$$

$$\text{при } y = 1 : \quad u_y = 0, \quad \tau_{xy} = 1. \quad (18)$$

Среди уравнений (12)–(15) независимых только три, однако для упрощения вычислений будут использоваться все уравнения.

2. ПРИБЛИЖЕННОЕ АНАЛИТИЧЕСКОЕ РЕШЕНИЕ ДЛЯ ПЛАСТИЧЕСКОГО СЛОЯ

В систему определяющих уравнений (10)-(15) вошел параметр $\varepsilon \ll 1$, что позволяет искать решение в виде рядов [4, 5]

$$\alpha(x, y) = \sum_n \varepsilon^n \alpha^{(n)}(x, y), \quad \varepsilon \ll 1. \quad (19)$$

В дальнейшем положим, что величины $\frac{\sigma_x - \sigma_\varphi}{r}$, $\frac{\sigma_y - \sigma_\varphi}{r}$, $\frac{\tau_{xy}}{r}$ порядка единицы, тогда из соотношений (10), (11), (16)-(18) следует, что разложения компонент напряжений имеют вид:

$$\begin{aligned} \tau_{xy} &= \tau_{xy}^{(0)} + \varepsilon \tau_{xy}^{(1)} + \varepsilon^2 \tau_{xy}^{(2)} + \dots, \\ \sigma_i &= \frac{1}{\varepsilon} \sigma_i^{(-1)} + \sigma_i^{(0)} + \varepsilon \sigma_i^{(1)} + \dots, \quad i \in \{x, y, \varphi\}, \end{aligned} \quad (20)$$

причем $\sigma_x^{(-1)} = \sigma_y^{(-1)} = \sigma_\varphi^{(-1)} = \sigma^{(-1)}(x)$, $\sigma_y^{(0)} = \sigma_y^{(0)}(x)$.

Подставляя соответствующие разложения из (20) в уравнение (10), заключаем, что $\frac{\partial \tau_{xy}^{(0)}}{\partial y}$ является функцией x , т.е. $\tau_{xy}^{(0)} = \beta(x)y + \delta(x)$. Функции $\beta(x)$ и $\delta(x)$ определяются из граничных условий (17) и (18). В результате имеем

$$\delta(x) = 0, \quad \beta(x) = 1, \quad \tau_{xy}^{(0)} = y. \quad (21)$$

Отсюда следует

$$\sigma_x^{(-1)} = \sigma_y^{(-1)} = \sigma_\varphi^{(-1)} = \sigma^{(-1)} = -x + c_1, \quad c_1 = const. \quad (22)$$

Постоянная c_1 находится из граничных условий на торцах слоя.

Граничные условия (17), (18) показывают, что разложение u_y имеет вид:

$$u_y = u_y^{(0)} + \varepsilon u_y^{(1)} + \varepsilon^2 u_y^{(2)} + \dots, \quad \text{причем} \quad \frac{\partial u_y^{(0)}}{y} \neq 0. \quad (23)$$

Из условия несжимаемости (13) следует, что

$$u_x = \frac{1}{\varepsilon} u_x^{(-1)} + u_x^{(0)} + \varepsilon u_x^{(1)} + \dots \quad (24)$$

Из уравнения (14) получим, что $\frac{\partial u_x^{(-1)}}{\partial y} = 0$, то есть $u_x^{(-1)} = u_x^{(-1)}(x)$. В этом случае из (13) следует

$$\frac{\partial u_y^{(0)}}{\partial y} = -\frac{\partial u_x^{(-1)}}{\partial x} - \frac{u_x^{(-1)}}{x} = \varphi(x), \quad (25)$$

то есть $u_y^{(0)} = \varphi(x)y + \psi(x)$. Функции $\varphi(x)$ и $\psi(x)$ определим из граничных условий (17)-(18):

$$\varphi(x) = -1, \quad \psi(x) = 1, \quad u_y^{(0)} = -y + 1. \quad (26)$$

Теперь из дифференциального уравнения (25) $\frac{du_x^{(-1)}}{dx} + \frac{u_x^{(-1)}}{x} = 1$ найдем

$$u_x^{(-1)} = \frac{1}{2}x + \frac{c_2}{x}, \quad c_2 = const. \quad (27)$$

Подставляя ряды u_x , u_y и σ_i в соотношения (12)–(18) и приравнивая функции при $\varepsilon^0 = 1$, получим следующую систему уравнений:

$$\frac{\partial u_y^{(0)}}{\partial y} \left(2\sigma_\varphi^{(0)} - \sigma_x^{(0)} - \sigma_y^{(0)} \right) = \frac{u_x^{(-1)}}{x} \left(2\sigma_y^{(0)} - \sigma_x^{(0)} - \sigma_\varphi^{(0)} \right), \quad (28)$$

$$\frac{\partial u_x^{(0)}}{\partial y} \left(2\sigma_y^{(0)} - \sigma_x^{(0)} - \sigma_\varphi^{(0)} \right) = 6 \frac{\partial u_y^{(0)}}{\partial y} \tau_{xy}^{(0)}, \quad (29)$$

$$\frac{\partial u_x^{(0)}}{\partial y} \left(2\sigma_x^{(0)} - \sigma_y^{(0)} - \sigma_\varphi^{(0)} \right) = 6 \frac{\partial u_x^{(-1)}}{\partial x} \tau_{xy}^{(0)}, \quad (30)$$

$$\left(\sigma_x^{(0)} - \sigma_y^{(0)} \right)^2 + \left(\sigma_x^{(0)} - \sigma_\varphi^{(0)} \right)^2 + \left(\sigma_\varphi^{(0)} - \sigma_y^{(0)} \right)^2 = 6 - 6 \left(\tau_{xy}^{(0)} \right)^2. \quad (31)$$

Исключим $\frac{\partial u_x^{(0)}}{\partial y}$ из уравнений (29), (30) и воспользуемся соотношениями (28), (27), (26), (20). В результате будем иметь:

$$\sigma_x^{(0)} = \sigma_\varphi^{(0)}, \quad \sigma_y^{(0)} = p, \quad p = const, \quad c_2 = 0. \quad (32)$$

Подставляя $\sigma_x^{(0)}$, $\sigma_\varphi^{(0)}$, $\sigma_y^{(0)}$ в (31) и (32), найдем $\sigma_x^{(0)}$ и $u_x^{(0)}$:

$$\sigma_x^{(0)} = p - \sqrt{3}\sqrt{1-y^2}, \quad u_x^{(0)} = -\sqrt{3}\sqrt{1-y^2} + c_3, \quad c_3 = const. \quad (33)$$

Если в рядах (19) пренебречь малыми членами порядка $\varepsilon \ll 1$ и выше, то напряженное и деформированное состояние пластического слоя примет следующий вид:

$$\sigma_x = \sigma_\varphi = \frac{1}{\varepsilon} (-x + c_1) + p - \sqrt{3}\sqrt{1-y^2}, \quad \sigma_y = p + \frac{1}{\varepsilon} (-x + c_1), \\ u_x = \frac{1}{2\varepsilon} x - \sqrt{3}\sqrt{1-y^2} + c_3, \quad u_y = -y + 1.$$

В предельных случаях, когда $\sin \gamma$ или $\cos \gamma$ являются малыми величинами порядка ε , необходимо проводить дополнительные исследования.

СПИСОК ЛИТЕРАТУРЫ

- [1] Хилл Р. Математическая теория пластичности / Р. Хилл // М.: Гостехтеориздат, 1956. — 407 с.
- [2] Соколовский В.В. Теория пластичности / В.В. Соколовский // М., Л.: Изд-во АН СССР, 1946. — 308 с.
- [3] Ивлев Д.Д. Механика пластических сред / Д.Д. Ивлев // М.: Физматлит, 2001. — Т. 1. — 445 с.
- [4] Давыдов Д.В., Мяснянкин Ю.М., Чуфринова Е.Д. О сжатии тонкого анизотропного упрочняющегося слоя криволинейными шероховатыми плитами / Д.В. Давыдов, Ю.М. Мяснянкин, Е.Д. Чуфринова // Вестник ЧГПУ им. И.Я. Яковлева. Серия: Механика предельного состояния. — 2010. — № 8. — С. 138–145.
- [5] Давыдов Д.А., Мяснянкин Ю.М. О внедрении тел в жесткопластическую среду / Д.В. Давыдов, Ю.М. Мяснянкин // Вестник Воронежского государственного университета. Серия: Физика. Математика. — 2009. — № 1. — С. 94–100.

Калашникова Марина Александровна, студент 5 курса факультета ПММ, Воронежский государственный университет

Kalashnikova Marina Aleksandrovna, 5th year student of the Faculty of Applied Mathematics and Mechanics, Voronezh State University

*Мяснянкин Юрий Михайлович, доктор физико-математических наук, профессор кафедры теоретической и прикладной механики, Воронежский государственный университет
Тел.: (473)-246-53-87*

*Myasnyankin Yury Mihailoviz, Doctor of Physics and Mathematics, Professor, Department of Theoretical and Applied Mechanics, Voronezh State University
Tel.: (473)-246-53-87*

*Шашкин Александр Иванович, доктор физико-математических наук, заведующий кафедрой математического и прикладного анализа, Воронежский государственный университет
E-mail: dean@amm.vsu.ru*

*Shashkin Alexander Ivanoviz, Doctor of Physical and Mathematical Sciences, Head of Department of Mathematics and Applied Analysis, Voronezh State University
E-mail: dean@amm.vsu.ru*